

Численное исследование аттракторов

Евгений Лагутин Валентин Самохин

May 21, 2019

Проект подразумевает применение методов Рунге-Кутты 1 и 4 порядков аппроксимации для расчёта поведения аттракторов Лоренца и Рёслера, исследование аттракторов как систем нелинейных дифференциальных уравнений, исследование численных методов на сходимость по сетке в приложении к данной задаче.

Постановка задачи

- Проведите исследования свойств систем ОДУ в зависимости от параметров процессов $(\sigma, r, b, \gamma_1, \gamma_2)$.
- Исследуйте сходимость численного решения по сетке.
- Используйте методы Рунге-Кутты 1-го и 4-го порядков точности.

Теория устойчивости методов РК

Теорема (Устойчивость методов Рунге-Кутты)

Пусть $\mathbf{f}(t, \mathbf{x})$ Липшиц-непрерывна по второму аргументу, т.е.

$$\|\mathbf{f}(t, \mathbf{x}) - \mathbf{f}(t, \mathbf{y})\| \leq C\|\mathbf{x} - \mathbf{y}\|,$$

Причём это условие выполняется для каждого t , $C \neq C(\tau)$ и $C\tau \ll 1$.

Тогда разностное уравнение $\frac{\mathbf{u}_{n+1} - \mathbf{u}_n}{\tau} = \mathbf{F}(t_n, \mathbf{u}_n)$ устойчиво и имеет место оценка

$$\|\mathbf{u}_n - \mathbf{v}_n\| \leq e^{C_2 t} \|\mathbf{u}_0 - \mathbf{v}_0\| + \frac{2\epsilon e^{C_2 t}}{C_2}.$$

Здесь $\mathbf{u}_n, \mathbf{v}_n$ - решения близких систем разностных уравнений.

ϵ - максимальная погрешность при вычислении правой части системы, т.е. для всех n (включая ноль) а постоянная C_2 незначительно отличается от C .

Для системы Лоренца такой константой является число, приблизительно равное 33 (reference), что делает затруднительным точные вычисления на большом промежутке времени.

Утверждение. Пусть матрица

$$\mathbf{A}(u) = \frac{1}{2}(\mathbf{f}_u(u) + \mathbf{f}_u^*(u))$$

строго отрицательна, т.е.

$$(\mathbf{A}(u)\xi, \xi) \leq -a(\xi, \xi)$$

для любых ξ, u и $a > 0$ (траектория, в окрестности которой выполняется то условие, называется устойчивой).

Тогда при интегрировании правильным методом Рунге-Кутты k -го порядка аппроксимации погрешность приближённого решения есть $O(\tau^k)$ при любом $t > 0$ при выполнении условий $a\tau \ll 1$.

Правило Рунге для оценки точности численного решения ОДУ:

Для оценки требуется решить задачу на 2 сетках: один раз с шагом τ ($y_{i,\tau}$) и второй — с шагом $\tau/2$ ($y_{i,\tau/2}$). Тогда формула для погрешности решения с точностью до $O(\tau^{p+1})$:

$$\varepsilon = \frac{|y_{i,\tau} - y_{i,\tau/2}|}{2^p - 1},$$

где p — порядок точности численного метода

Пусть используется метод с порядком аппроксимации p . Тогда главный член погрешности метода ε имеет вид

$$\varepsilon = C_2 \tau^{p+1}$$

Пусть есть две сетки с шагом τ и $\tau/2$.

Тогда $\frac{\varepsilon_1}{\varepsilon_2} = 2^{p+1}$

Зная погрешности в точке, можем проверить сходится ли метод с необходимой точностью.

1 Аттрактор Лоренца

$$\begin{cases} \dot{x} = \sigma y - \sigma x \\ \dot{y} = -xz + rx - y \\ \dot{z} = xy - bz \end{cases}$$

Параметры задачи:

$x(0) > 0$, $y(0) = y_0$, $z(0) = z_0$, ($y_0 = z_0 = 1$), $\sigma = 10$, $r = 28$, $b = \{8/3, 10, 20\}$, $t_k = 20$, $\tau = \{10^{-3}, 10^{-2}\}$

Здесь σ — число Прандтля, r — число Рэлея.

Почему это аттрактор:

Посчитаем поток векторного поля \vec{F} :

$$\nabla \cdot \vec{F} = -(\sigma + 1 + \beta)$$

Рассмотрим некоторую замкнутую поверхность в фазовом пространстве $S(t)$, ограничивающую объем $V(t)$. Тогда:

$$\dot{V} = \int_{S(t)} \vec{F} \cdot ds = -(\sigma + 1 + \beta) V(t)$$

$$V(t) = \exp(-(\sigma + 1 + \beta)t) V(0)$$

Эта выражение экспоненциально убывает со временем. Дальше мы берем функцию

$$v(x) = rx^2 + \sigma y^2 + \sigma(z - 2r)^2$$

(Считаем производную по времени как у сложной функции, рассматриваем области где производная больше нуля и меньше и получаем что из области где производная больше нуля мы попадаем рано или поздно в область где производная меньше нуля, но из нее выбраться мы не можем) Можно показать, что для любых параметров любой фазовый портрет будет ограничен.

Исследование на устойчивость

Рассмотрим матрицу Якоби системы:

$$A(x, y, z) = \frac{\partial(\dot{x}, \dot{y}, \dot{z})}{\partial(x, y, z)} = \begin{bmatrix} -\sigma & \sigma & 0 \\ -r - z & -1 & -x \\ y & x & -\beta \end{bmatrix}$$

Характеристическое уравнение:

$$(\lambda + \sigma) [(\lambda + 1)(\lambda + b) + x^2] + \sigma[(\lambda + b)(z - r) + xy] = 0$$

Для неподвижной точки, расположенной в начале координат:

$$(\lambda + \sigma) [\lambda^2 + (\sigma + 1)\lambda + \sigma(1 - r)] = 0$$

Откуда находим три корня:

$$\lambda_1 = -b, \quad \lambda_{1,2} = -\frac{1}{2}(\sigma + 1) \pm \sqrt{\frac{1}{4}(\sigma + 1)^2 + \sigma(r - 1)}$$

Точка неустойчива при $r > 1$.

Обратимся теперь к точкам O_1, O_2 , которые существуют, как было показано.

Подставляя x, y, z получаем кубическое уравнение относительно λ :

$$\lambda^3 + (\sigma + b + 1)\lambda^2 + b(\sigma + r)\lambda + 2\sigma b(r - 1) = 0$$

Найдём порог устойчивости из уравнения.

Подставим $\lambda = iw$

$$-iw^3 - (\sigma + b + 1)w^2 + b(\sigma + r)iw + 2\sigma b(r - 1) = 0$$

Отсюда

$$b = \frac{\sigma r - r - \sigma^2 - 3\sigma}{r + \sigma} = \frac{122}{38} \approx 3,21$$

При значениях, больших 3,21, одно собственное значение действительное и трицательное, а два других - комплексные с отрицательной действительной частью, следовательно обе точки - устойчивые фокусы.

В противном случае - точки - неустойчивые фокусы.

1.1 Численное решение

Далее продемонстрированы численные решения ДУ при различных значениях параметров, полученные с помощью методов РК первого и четвёртого порядков.

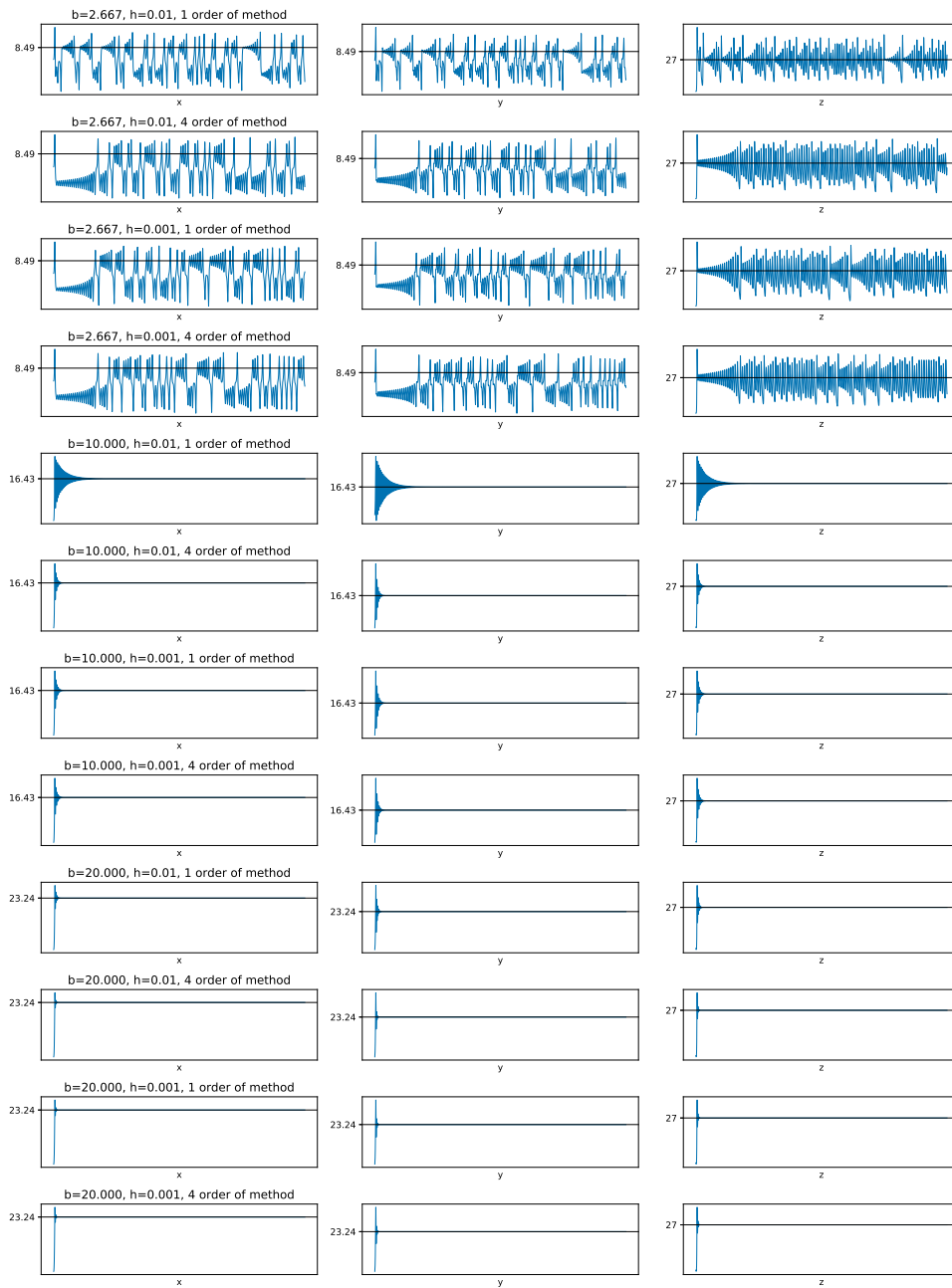


Figure 1: Траектории решений, полученных с помощью методов РК. Чёрными линиями обозначены теоретически полученные особые точки системы ДУ, посчитанные аналитически

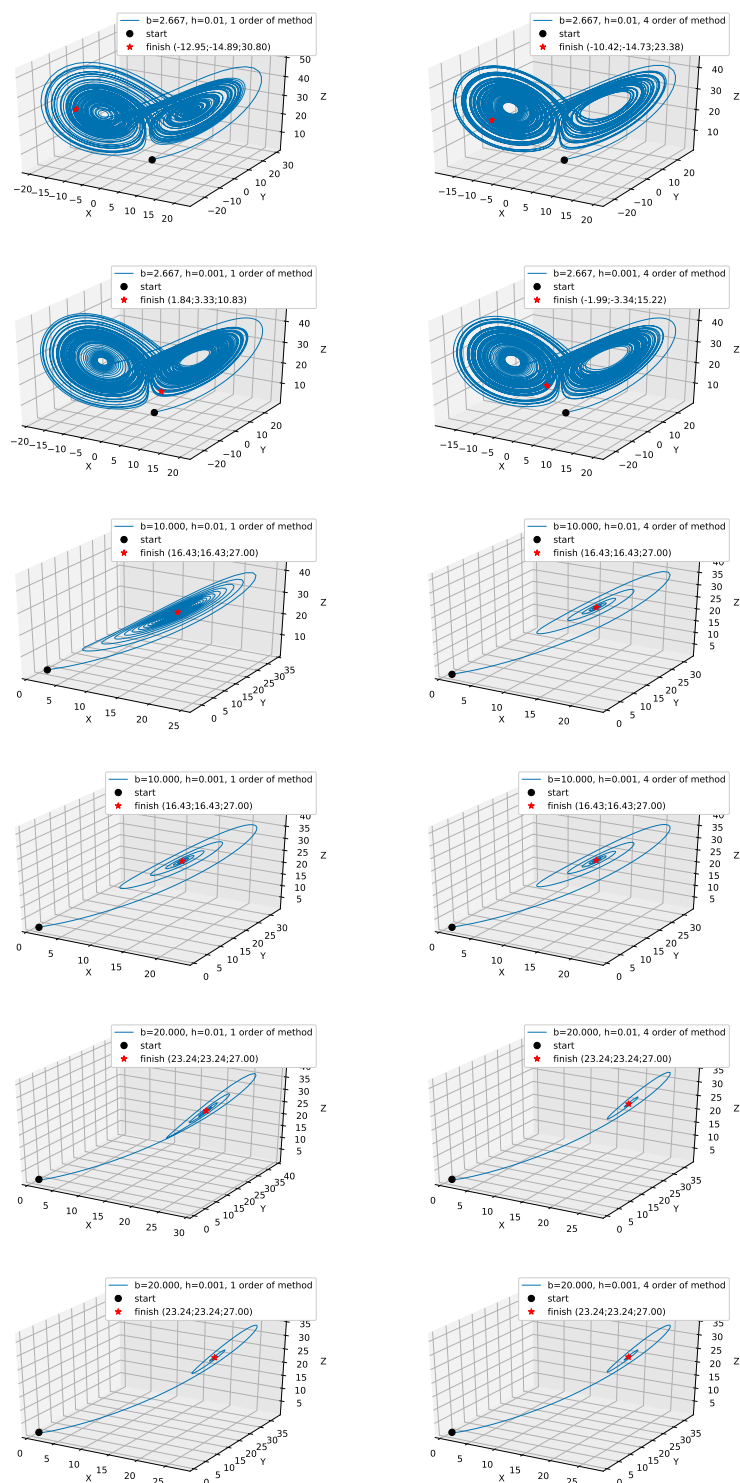


Figure 2: Тректории решений в пространстве

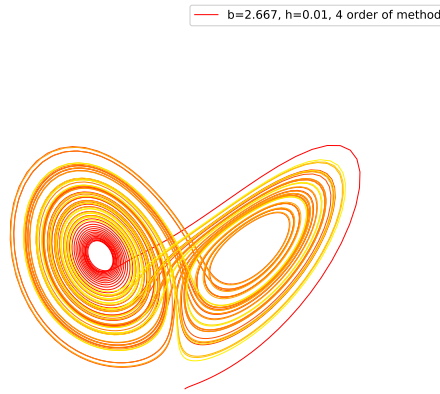


Figure 3: Аттрактор Лоренца

Исследование на сходимость

С помощью формул для погрешностей методов РК, получены графики изменения ошибки при измельчении сетки и график численного порядка метода. Использовался метод РК 4 порядка.

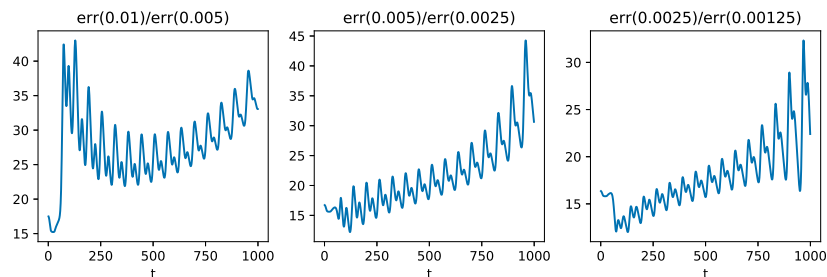


Figure 4: Численная оценка порядка метода. По оси ординат должно быть $2^p - 1$, где p - порядок

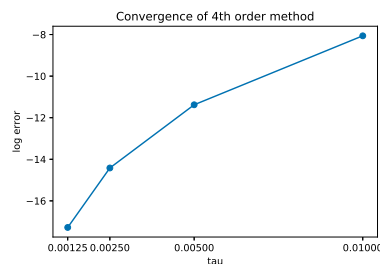


Figure 5: Изменение ошибки при измельчении сетки вдвое.

2 Аттрактор Рёслера

$$\begin{cases} \dot{x} = -y - z \\ \dot{y} = x + \frac{y}{5} \\ \dot{z} = \frac{1}{5} + z(x - \mu) \end{cases}$$

$$x(0) = 0, \quad y(0) = y_0, \quad z(0) = z_0, \quad 0 < \mu \leq 10$$

Особые точки:

$$z = \frac{5\mu \pm \sqrt{25\mu^2 - 4}}{2}, \quad y = -z, \quad x = \frac{z}{5}$$

Заметим, что при $\mu < \frac{2}{5}$, неподвижных точек нет.

Рассмотрим матрицу Якоби

$$A(x, y, z) = \frac{\partial(\dot{x}, \dot{y}, \dot{z})}{\partial(x, y, z)} = \begin{bmatrix} 0 & -1 & -1 \\ 1 & \frac{1}{5} & 0 \\ z & 0 & x - \mu \end{bmatrix}$$

Характеристическое уравнение:

$$\lambda^3 - \lambda^2 \left(x - \mu + \frac{1}{5} \right) - \lambda \left(\frac{x}{5} - \frac{\mu}{5} - 1 - z \right) + x - \mu + \frac{z}{5} = 0$$

Численное решение

Далее продемонстрированы численные решения ДУ при различных значениях параметров, полученные с помощью методов РК первого и четвёртого порядков.

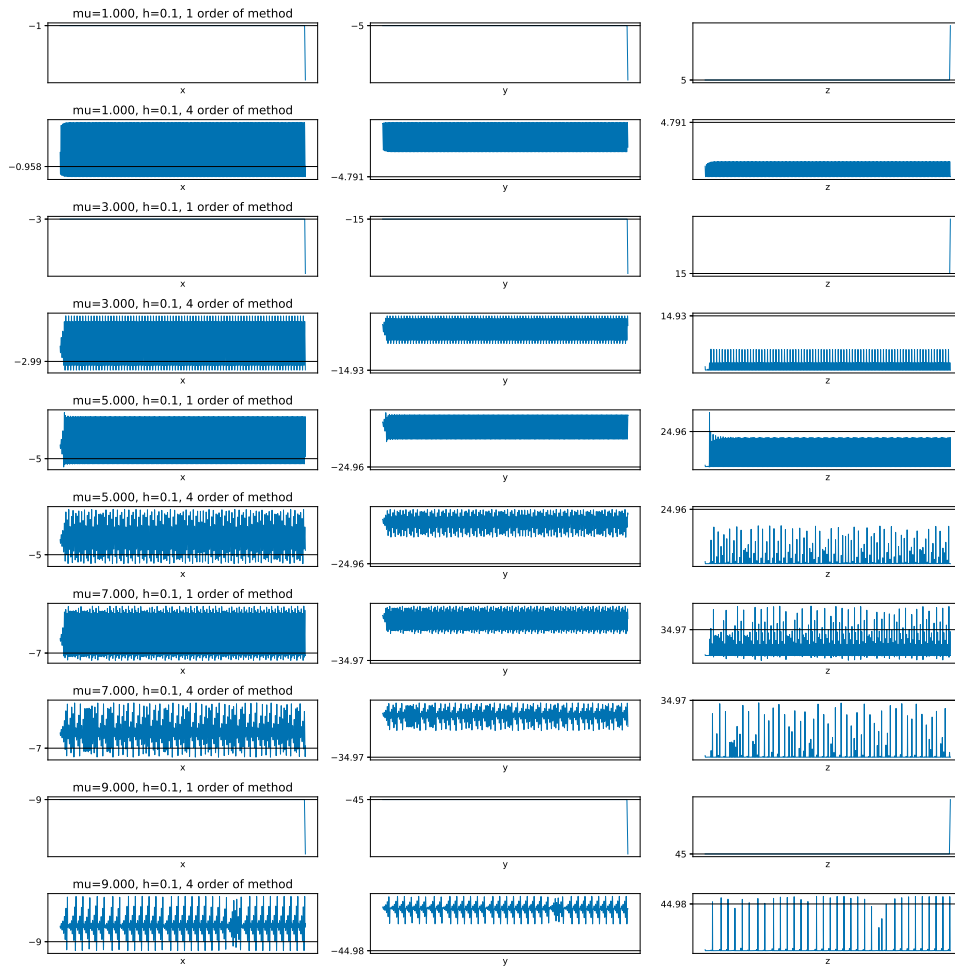


Figure 6: Траектории решений, полученных с помощью методов РК. Чёрными линиями обозначены теоретически полученные особые точки системы ДУ, посчитанные аналитически

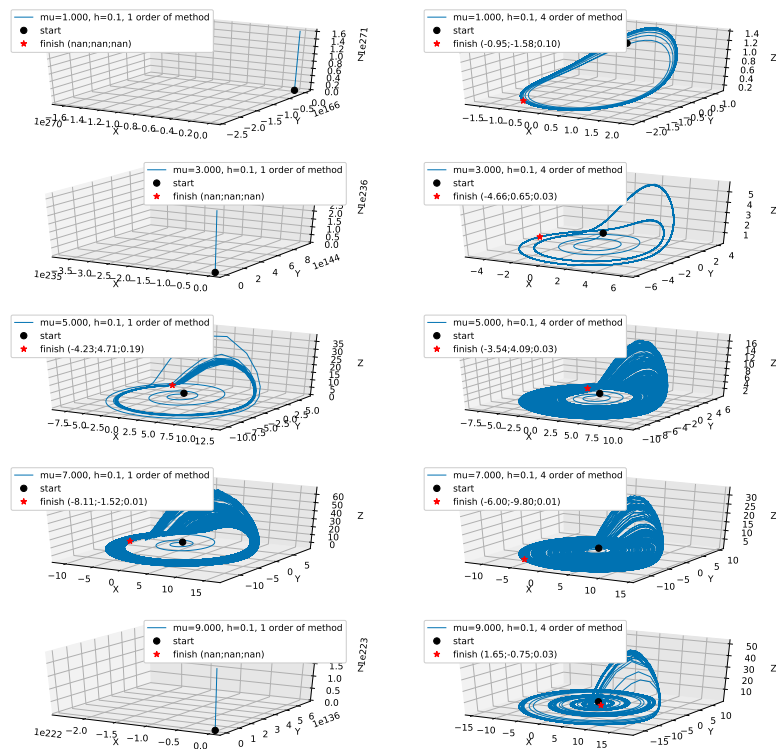


Figure 7: Тректории решений в пространстве

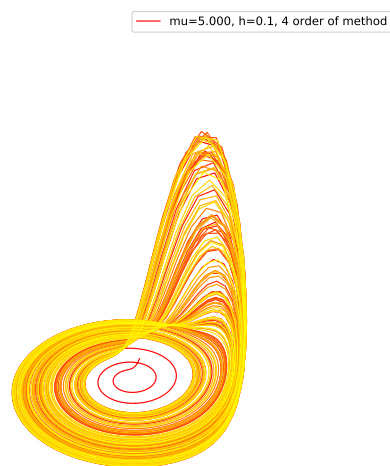


Figure 8: Аттрактор Рёслера

Исследование на сходимость

С помощью формул для погрешностей методов РК, получены графики изменения ошибки при измельчении сетки и график численного порядка метода. Использовался метод РК 4 порядка.

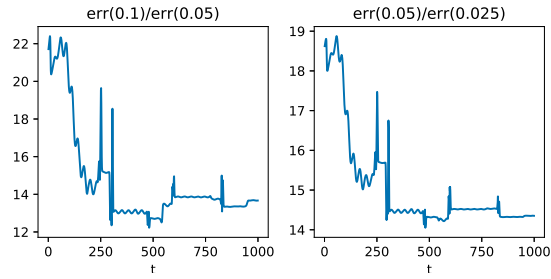


Figure 9: Численная оценка порядка метода. По оси ординат должно быть $2^p - 1$, где p - порядок

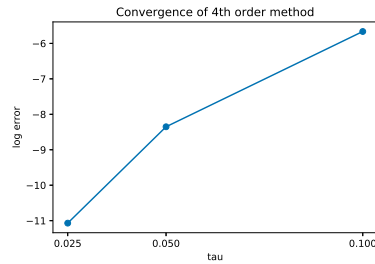


Figure 10: Изменение ошибки при измельчении сетки вдвое.

3 Аттрактор Рикитаке

$$\begin{cases} \dot{x} = -\mu x + yz \\ \dot{y} = -\mu y + xr \\ \dot{z} = 1 - xy - \gamma_1 z \\ \dot{r} = 1 - xy + \gamma_2 r \end{cases}$$

$$x(0) = 0, \quad y(0) = y_0, \quad z(0) = z_0, \quad 0, 2 \leq \mu \leq 2$$

$$\gamma_1 = [0, 002; 0, 004], \quad \gamma_2 = 0, 002$$

Численное решение

Далее продемонстрированы численные решения ДУ при различных значениях параметров, полученные с помощью методов РК первого и четвёртого порядков.

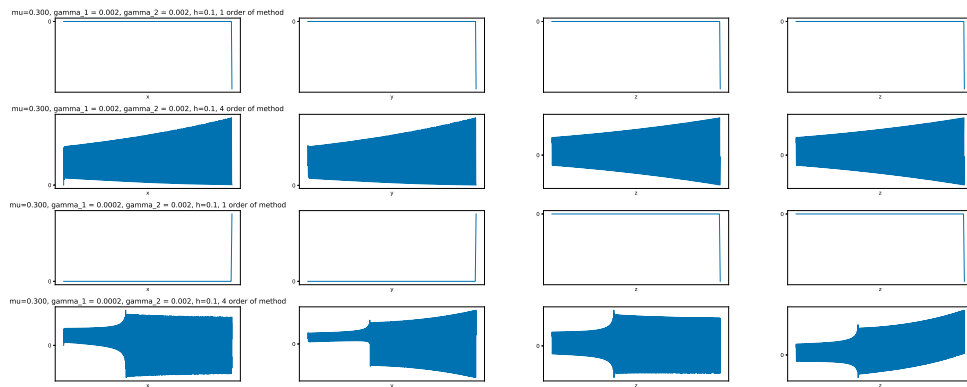


Figure 11: Траектории решений, полученных с помощью методов РК. Чёрными линиями обозначены теоретически полученные особые точки системы ДУ, посчитанные аналитически

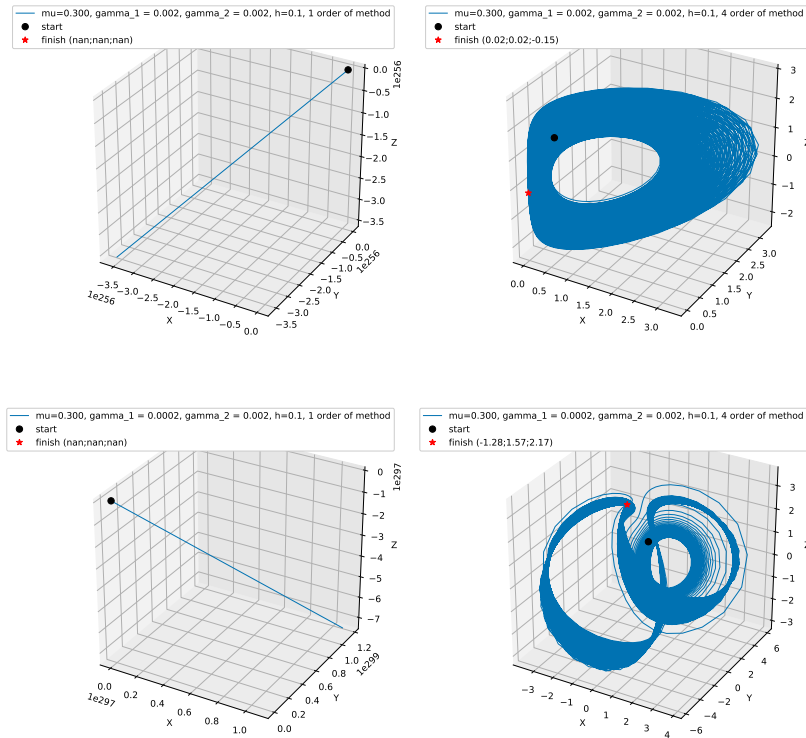


Figure 12: Тректории решений в пространстве

Исследование на сходимость

С помощью формул для погрешностей методов РК, получены графики изменения ошибки при измельчении сетки и график численного порядка метода. Использовался метод РК 4 порядка.

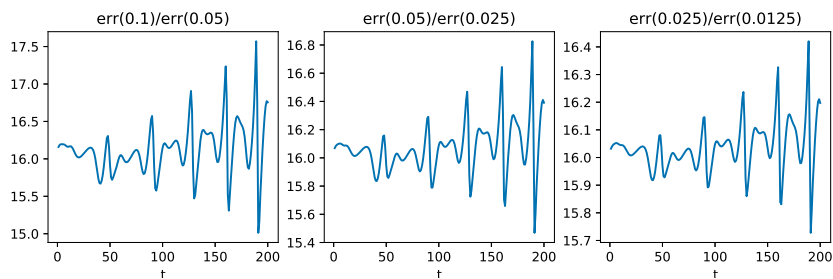


Figure 13: Численная оценка порядка метода. По оси ординат должно быть $2^p - 1$, где p - порядок

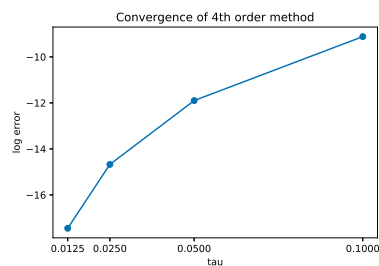


Figure 14: Изменение ошибки при измельчении сетки вдвое.